

Микроскопическое моделирование структуры ядер и ядерных реакций

Исполнитель темы

студент группы М23-114

Д. А. Ситьков

Научный руководитель

д-р физ.-мат. наук, доц.

А. Л. Барабанов

НИЯУ «МИФИ»

21 мая 2025 г.

Метод Хартри-Фока и парные корреляции

- Метод Хартри-Фока:

- ▶ нуклоны в ядре находятся в самосогласованном потенциале;
- ▶ параметризация эффективных сил.

- Учёт парных корреляций:

- ▶ наряду с расчётами по методу Хартри-Фока можно попытаться учесть парные корреляции аналогично методу Бардина-Купера-Шриффера (БКШ).

- 1 *Vautherin D., Brink D. M. // Phys. Rev. C. — 1972. — v. 5, iss. 3. — p. 626–647.*
- 2 *Ring P., Schuck P. The Nuclear Many-Body Problem. — New York : Springer, 1980.*

Метод Хартри-Фока

Система описывается гамильтонианом

$$\hat{H} = \sum_i^N \hat{t}_i + \frac{1}{2} \sum_{i \neq j}^N \hat{v}_{ij}. \quad (1)$$

Многочастичная волновая функция — определитель Слетера:

$$\Psi_N(x_1, \dots, x_N) = \frac{1}{\sqrt{N!}} \det\{\psi_i(x_j)\}. \quad (2)$$

В основном состоянии

$$E_N = \langle \Psi_N | \hat{H} | \Psi_N \rangle \rightarrow \min \iff \frac{\delta E_N}{\delta \psi_i} = 0. \quad (3)$$

Метод Хартри-Фока (2)

Система интегро-дифференциальных уравнений Хартри-Фока

$$\hat{t}_i \psi_i(x_i) + \sum_{j \neq i} \langle \psi_j | \hat{v}_{ij} | \psi_j \rangle \psi_i(x_i) - \sum_{j \neq i} \langle \psi_j | \hat{v}_{ij} | \psi_i \rangle \psi_j(x_i) = \varepsilon_i^{\min} \psi_i(x_i) \quad (4)$$

на волновые функции ψ_i и одночастичные уровни ε_i^{\min} .

Метод Хартри-Фока: силы Скирма

Взаимодействие Скирма имеет вид

$$V = \sum_{i < j} v_{ij} + \sum_{i < j < k} v_{ijk}. \quad (5)$$

Для чётно-чётных ядер трёхчастичный точечный потенциал

$$v_{123} = t_3 \delta^{(3)}(\mathbf{r}_1 - \mathbf{r}_2) \delta^{(3)}(\mathbf{r}_2 - \mathbf{r}_3) \quad (6)$$

равносилен двухчастичному

$$v_{12} \propto \delta^{(3)}(\mathbf{r}_1 - \mathbf{r}_2) \rho((\mathbf{r}_1 + \mathbf{r}_2)/2). \quad (7)$$

Параметры взаимодействия

$$v_{ij} = v_{ij}(t_0, t_1, t_2, t_3, x_0, W_0) \quad (8)$$

подбираются под экспериментальные данные.

Метод Хартри-Фока: силы Скирма (2)

Основное состояние ядра — определитель Слетера

$$\phi(x_1, x_2, \dots, x_A) = \frac{1}{\sqrt{A!}} \det\{\phi_i(x_j)\}. \quad (9)$$

Условие минимальности энергии $E = \langle \phi | T + V | \phi \rangle$ даёт

$$\left[-\left(\nabla, \frac{\hbar^2}{2m_q^*(\mathbf{r})} \nabla \right) + U_q(\mathbf{r}) + (\mathbf{W}_q(\mathbf{r}), (-i)(\nabla \times \boldsymbol{\sigma})) \right] \phi_i = \epsilon_i \phi_i. \quad (10)$$

Система дифференциальных уравнений с зависимостью от

$$\rho_q = \sum_i \phi_i^\dagger \phi_i; \quad \tau_q = \sum_i (\nabla \phi_i^\dagger, \nabla \phi_i); \quad \mathbf{J}_q = -i \sum_i \phi_i^\dagger (\nabla \times \boldsymbol{\sigma}) \phi_i. \quad (11)$$

Рассматривается приближение сферической симметрии

$$\phi_i(\mathbf{r}, \boldsymbol{\sigma}, t) = \frac{R_{qn\ell j}(r)}{r} \mathcal{Y}_{\ell j m}(\mathbf{n}, \boldsymbol{\sigma}) \chi_q(t). \quad (12)$$

Парные корреляции

- Ряд свойств, которые не описываются в рамках Хартри-Фока:
 - ▶ чётно-нечётный эффект: $M_{A_{\text{неч}}} > (M_{A-1} + M_{A+1})/2$;
 - ▶ плотности уровней: для низколежащих уровней возбуждения $\rho_{\text{эксп}} \sim \frac{1}{2} \rho_{\text{теор}}$;
 - ▶ характерная разница в спектрах чётных и нечётных деформированных ядер (рисунок 1) и другие.

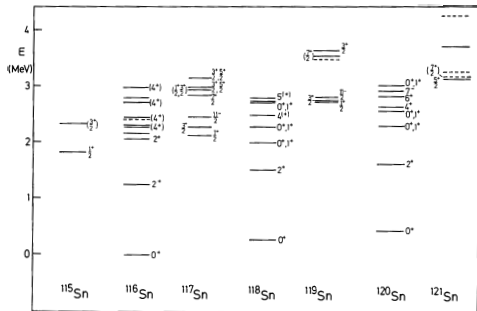


Рисунок 1 — Спектры возбуждения изотопов $_{50}\text{Sn}$ [Ring P., Schuck P. The Nuclear Many-Body Problem. — 1980].

Схема БКШ

Основное состояние чётно-чётного ядра

$$|\Psi_0\rangle = \prod_{k>0} (u_k + v_k \hat{a}_k^\dagger \hat{a}_{\bar{k}}^\dagger) |0\rangle, \quad (13)$$

где для сферического базиса

$$|k\rangle = |nljm\rangle, \quad |\bar{k}\rangle = |nlj-m\rangle, \quad m > 0. \quad (14)$$

Величины v_k^2 и u_k^2 являются вероятностями того, что определённое парное состояние (k, \bar{k}) **занято** или **нет**.

Энергии уровней ϵ_k получены из уравнений Хартри-Фока. Функции плотностей обобщаются как

$$\rho_q(\mathbf{r}) = 2 \sum_{k>0} v_k^2 \phi_k^\dagger \phi_k, \quad \tau_q(\mathbf{r}) = 2 \sum_{k>0} v_k^2 (\nabla \phi_k^\dagger, \nabla \phi_k), \quad (15a)$$

$$\mathbf{J}_q(\mathbf{r}) = -2i \sum_{k>0} v_k^2 \phi_k^\dagger (\nabla \times \boldsymbol{\sigma}) \phi_k. \quad (156)$$

Схема БКШ: короткодействующий потенциал

Гамильтониан системы с короткодействующим потенциалом:

$$H = \sum_{k>0} \epsilon_k (\hat{a}_k^\dagger \hat{a}_k + \hat{a}_{\bar{k}}^\dagger \hat{a}_{\bar{k}}) - G \sum_{k,k'>0} \hat{a}_k^\dagger \hat{a}_{\bar{k}}^\dagger \hat{a}_{\bar{k}'} \hat{a}_{k'}. \quad (16)$$

Число частиц в состоянии $|\Psi_0\rangle$ не является фиксированным.

Потребуем для заданного количества N нуклонов

$$\langle \Psi_0 | \hat{N} | \Psi_0 \rangle = N \iff 2 \sum_{k>0} v_k^2 = N. \quad (17)$$

Вариационная задача $\delta \langle \Psi_0 | H | \Psi_0 \rangle = 0$ с условием (17) равносильна безусловной вариационной задаче для

$$H' = H - \lambda \hat{N}. \quad (18)$$

Схема БКШ: короткодействующий потенциал (2)

Прямым вычислением можно установить

$$(u_k \hat{a}_k - v_k \hat{a}_k^\dagger) |\Psi_0\rangle = 0, \quad (u_k \hat{a}_{\bar{k}} + v_k \hat{a}_{\bar{k}}^\dagger) |\Psi_0\rangle = 0. \quad (19)$$

Основное состояние $|\Psi_0\rangle$ — вакуумное состояние по квазичастицам b :

$$b_k = u_k \hat{a}_k - v_k \hat{a}_k^\dagger, \quad b_{\bar{k}} = u_k \hat{a}_{\bar{k}} + v_k \hat{a}_k^\dagger. \quad (20)$$

Гамильтониан H' можно привести к виду

$$H' = H'_0 + \sum_{k>0} E_k (b_k^\dagger b_k + b_{\bar{k}}^\dagger b_{\bar{k}}). \quad (21)$$

Вариационная задача $\delta \langle \Psi_0 | H' | \Psi_0 \rangle = 0$ равносильна этому условию.

Схема БКШ: короткодействующий потенциал (3)

Коэффициенты u_k и v_k имеют вид

$$u_k^2 \approx \frac{1}{2} \left(1 + \frac{\tilde{\epsilon}_k}{\sqrt{\tilde{\epsilon}_k^2 + \Delta_0^2}} \right), \quad v_k^2 \approx \frac{1}{2} \left(1 - \frac{\tilde{\epsilon}_k}{\sqrt{\tilde{\epsilon}_k^2 + \Delta_0^2}} \right), \quad (22)$$

где $\tilde{\epsilon}_k = \epsilon_k - \lambda$, $\Delta_0 \equiv G \sum_{k>0} u_k v_k$.

Гамильтониан H' приобретёт вид

$$H' \approx \underbrace{\sum_{k>0} 2\tilde{\epsilon}_k v_k^2 - \frac{\Delta_0^2}{G}}_{H'_0} + \sum_{k>0} \underbrace{\sqrt{\tilde{\epsilon}_k^2 + \Delta_0^2}}_{E_k} (b_k^\dagger b_k + b_{\bar{k}}^\dagger b_{\bar{k}}). \quad (23)$$

E_k — энергия квазичастиц b

Возбуждённое состояние ядра $|\Psi\rangle = \hat{a}_{k'}^\dagger \hat{a}_k |\Psi_0\rangle$ — элементарное нуклон-дырочное возбуждение. При возбуждении ядра его энергия изменится на

$$E_\Psi - E_{\Psi_0} \approx E_{k'} + E_k. \quad (24)$$

Схема БКШ: короткодействующий потенциал (4)

Система уравнений

$$2 \sum_{k>0} v_k^2(\epsilon_j, \lambda, \Delta_0) = N, \quad (25a)$$

$$G \sum_{k>0} u_k(\epsilon_j, \lambda, \Delta_0) v_k(\epsilon_j, \lambda, \Delta_0) = \Delta_0 \quad (25b)$$

при заданной силе G парных корреляций и одночастичных уровнях ϵ_j определяет химический потенциал λ и энергетическую щель БКШ Δ_0 .

Численные расчёты

- Численное решение уравнений Хартри-Фока с последующим наложением схемы БКШ было осуществлено при помощи программного комплекса наших коллег из НИИЯФ МГУ: *Sidorov S. V., Kornilova A. S., Tretyakova T. Yu.* Tensor force impact on shell evolution in neutron-rich Si and Ni isotopes // Chin. Phys. C. — 2024. — v. 48, iss. 4.

Численные расчёты (2)

- Одночастичные уровни ϵ_j определяются задачей Хартри-Фока о нахождении нуклонов в самосогласованном потенциале.
- Два набора значений параметров скирмовских сил: SG II и SLy4.
- Независимое рассмотрение нейтронов и протонов:

$$|\Psi_0\rangle = \prod_{k_1>0} \left(u_{k_1}^{(p)} + v_{k_1}^{(p)} a_{k_1}^{(p)\dagger} a_{\bar{k}_1}^{(p)\dagger} \right) \times \prod_{k_2>0} \left(u_{k_2}^{(n)} + v_{k_2}^{(n)} a_{k_2}^{(n)\dagger} a_{\bar{k}_2}^{(n)\dagger} \right) |0\rangle. \quad (26)$$

- Величина парных сил G_q подобрана так, чтобы энергетическая щель была равна

$$\Delta_q = -\frac{1}{4} (S_q(A-1_q) + S_q(A+1_q) - 2S_q(A)). \quad (27)$$

Удельные энергии связи изотопов Fe

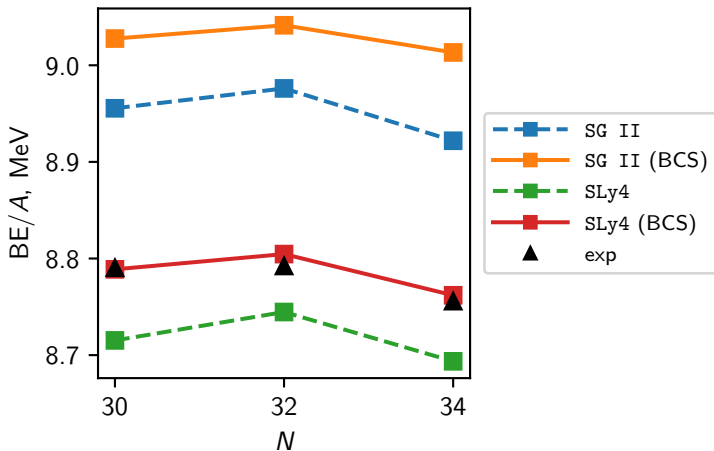
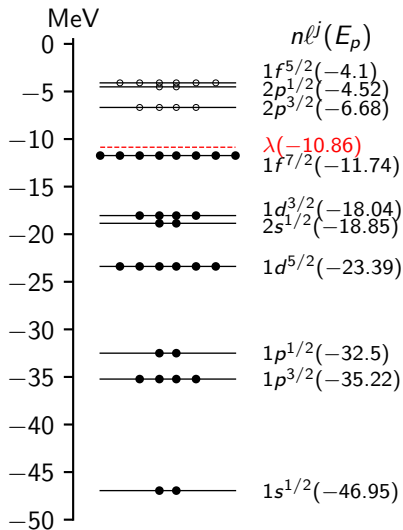
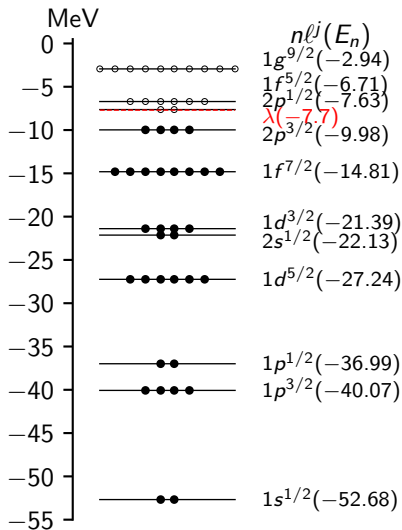


Рисунок 2 — Удельные энергии связи изотопов железа ^{56}Fe , ^{58}Fe , ^{60}Fe в зависимости от числа нейтронов N в ядре. Экспериментальные данные — [Wang M., Huang W., Kondev F., Audi G., Naimi S. // Chin. Phys. C. — 2021. — v. 45, iss. 3].

Одночастичные уровни ^{60}Fe



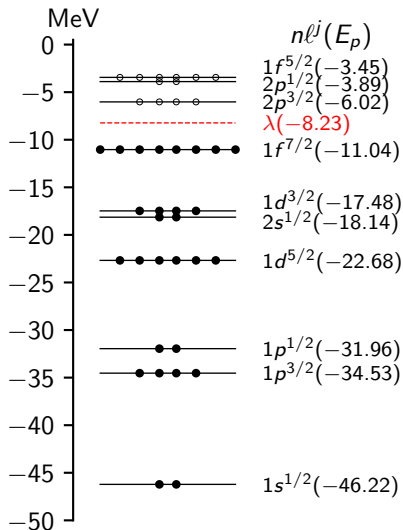
(а) Протонные уровни.



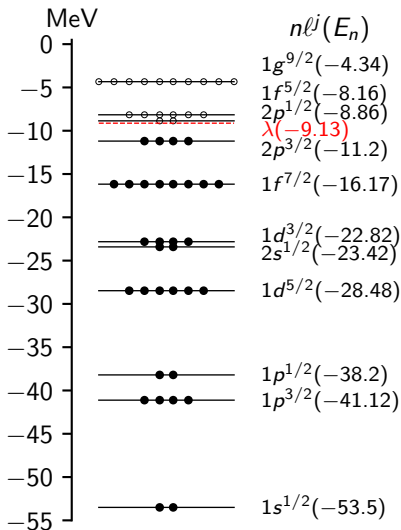
(б) Нейтронные уровни.

Рисунок 3 — Уровни основного состояния ядра ^{60}Fe с учётом парных корреляций.

Одночастичные уровни ^{62}Ni



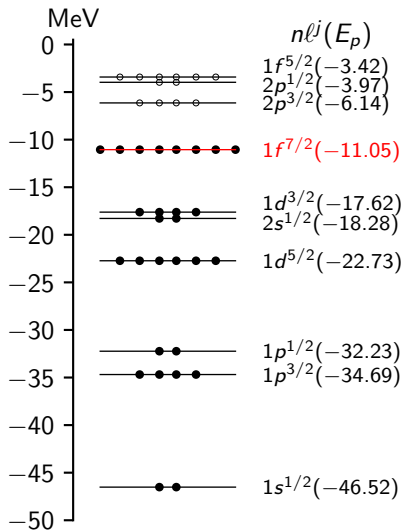
(а) Протонные уровни.



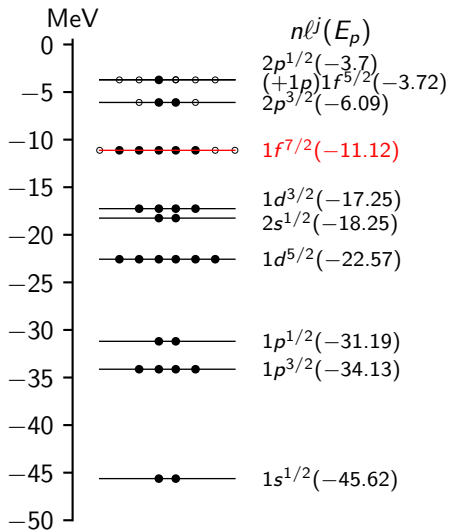
(б) Нейтронные уровни.

Рисунок 4 — Уровни основного состояния ядра ^{62}Ni с учётом парных корреляций.

Одночастичные протонные уровни ^{62}Ni



(а) Основное состояние.



(б) Возбуждённое состояние.

Рисунок 5 — Протонные уровни ядра ^{62}Ni без учёта парных корреляций.

Заключение 1/2

- Вычислены удельные энергии связи для цепочки изотопов железа с целью дальнейшей проверки выбора набора скирмовских параметров.
- Получены схемы одночастичных уровней изотопов кислорода, железа и никеля, в том числе, уровней возбуждённых состояний ядер, которые нужны для комбинаторных расчётов плотности уровней для моделирования ядерных реакций.
- Независимое рассмотрение протонов и нейтронов обосновано для тяжёлых ($A \gtrsim 56$) ядер, а для лёгких приводит к завышению оценок энергий связи.

Заключение 2/2

Рассматриваемый формализм может быть обобщён на:

- включение в рассмотрение нечётных ядер \rightarrow возбуждённые состояния с учётом парных корреляций;
- рассмотрение деформированных ядер.

Дополнительные слайды

Уравнение (10) имеет вид локального уравнения Шрёдингера с эффективной массой $m_q^*(\mathbf{r})$, которая зависит от нуклонной плотности:

$$\frac{\hbar^2}{2m_q^*(\mathbf{r})} = \frac{\hbar^2}{2m} + \frac{1}{4}(t_1 + t_2)\rho + \frac{1}{8}(t_2 - t_1)\rho_q. \quad (28)$$

Потенциал $U_q(\mathbf{r})$ также зависит от плотности кинетической энергии:

$$\begin{aligned} U_q(\mathbf{r}) = & t_0 [(1 + x_0/2)\rho - (x_0 + 1/2)\rho_q] + \frac{1}{4}t_3(\rho^2 - \rho_q^2) - \\ & - \frac{1}{8}(3t_1 - t_2)\nabla^2\rho + \frac{1}{16}(3t_1 + t_2)\nabla^2\rho_q + \frac{1}{4}(t_1 + t_2)\tau + \\ & + \frac{1}{8}(t_2 - t_1)\tau_q - \frac{1}{2}W_0(\nabla \cdot \mathbf{J} + \nabla \cdot \mathbf{J}_q) + \delta_{q,+1/2}V_C(\mathbf{r}), \end{aligned} \quad (29)$$

где $V_C(\mathbf{r}) = \int \rho_p(\mathbf{r}') \frac{e^2}{|\mathbf{r} - \mathbf{r}'|} d^3r'$.

Дополнительные слайды (2)

Форм-фактор $\mathbf{W}_q(\mathbf{r})$ спин-орбитального потенциала даётся выражением

$$\mathbf{W}_q(\mathbf{r}) = \frac{1}{2} W_0(\nabla\rho + \nabla\rho_q) + \frac{1}{8}(t_1 - t_2)\mathbf{J}_q(\mathbf{r}). \quad (30)$$

Соответствующие плотности:

$$\rho_q(\mathbf{r}) = \sum_{i,\sigma} |\phi_i(\mathbf{r}, \sigma, q)|^2, \quad (31)$$

$$\tau_q(\mathbf{r}) = \sum_{i,\sigma} |\nabla\phi_i(\mathbf{r}, \sigma, q)|^2, \quad (32)$$

$$\mathbf{J}_q(\mathbf{r}) = (-i) \sum_{i,\sigma,\sigma'} \phi_i^*(\mathbf{r}, \sigma, q) (\nabla\phi_i(\mathbf{r}, \sigma', q) \times \langle \sigma | \sigma' \rangle). \quad (33)$$

Дополнительные слайды (3): изотопы кислорода

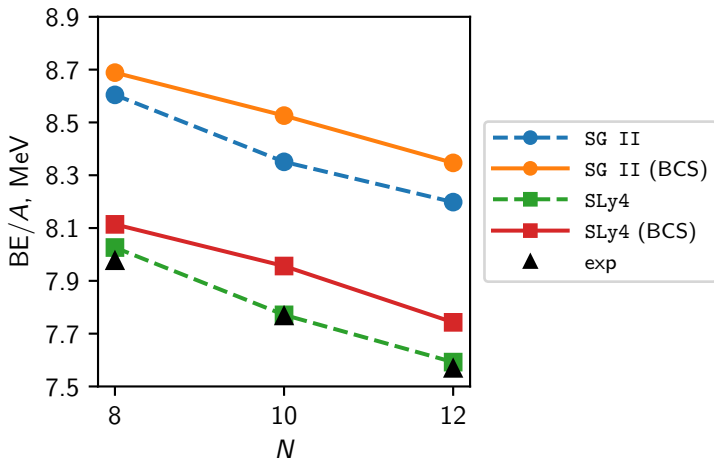


Рисунок 6 — Удельные энергии связи изотопов кислорода ^{16}O , ^{18}O , ^{20}O в зависимости от числа нейтронов N в ядре. Экспериментальные данные — [Wang M., Huang W., Kondev F., Audi G., Naimi S. // Chin. Phys. C. — 2021. — v. 45, iss. 3].

Дополнительные слайды (4): изотопы никеля

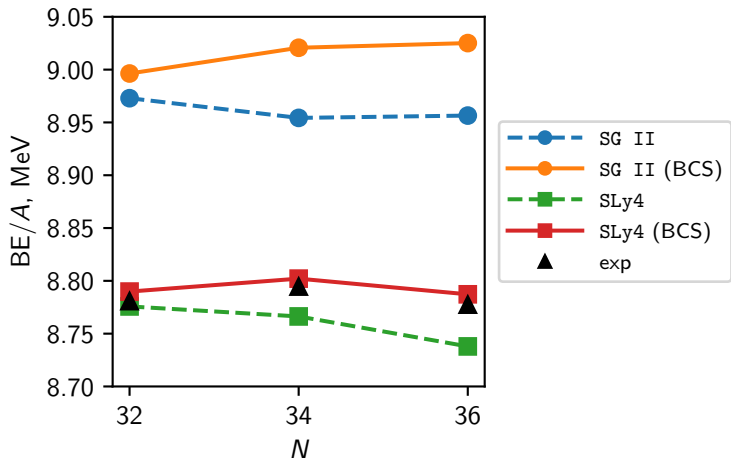


Рисунок 7 — Удельные энергии связи изотопов никеля ^{60}Ni , ^{62}Ni , ^{64}Ni в зависимости от числа нейтронов N в ядре. Экспериментальные данные — [Wang M., Huang W., Kondev F., Audi G., Naimi S. // Chin. Phys. C. — 2021. — v. 45, iss. 3].

Дополнительные слайды (5): схема БКШ

Искомый вид:

$$H' = H'_0 + \sum_{k>0} E_k (b_k^\dagger b_k + b_k^\dagger b_{\bar{k}}). \quad (34)$$

Выражая H' через операторы b , получим

$$H' \approx \sum_{k>0} 2\tilde{\epsilon}_k v_k^2 - \frac{\Delta^2}{G} + \sum_{k>0} \tilde{\epsilon}_k (u_k^2 - v_k^2) (\hat{n}_k^b + \hat{n}_{\bar{k}}^b) + \sum_{k>0} (\tilde{\epsilon}_k \cdot 2u_k v_k - \Delta(u_k^2 - v_k^2)) (b_k^\dagger b_{\bar{k}}^\dagger + b_{\bar{k}} b_k), \quad (35)$$

где $\tilde{\epsilon}_k = \epsilon_k - \lambda$ и $\Delta = G \sum_{k>0} u_k v_k (1 - n_k^b - n_{\bar{k}}^b)$.

Дополнительное условие на неизвестные коэффициенты u_k, v_k :

$$\tilde{\epsilon}_k (2u_k v_k) - \Delta (u_k^2 - v_k^2) \equiv 0. \quad (36)$$

Дополнительные слайды (6): схема БКШ

Решение на коэффициенты u_k и v_k имеет вид

$$u_k^2 = \frac{1}{2} \left(1 + \frac{\tilde{\epsilon}_k}{\sqrt{\tilde{\epsilon}_k^2 + \Delta^2}} \right), \quad v_k^2 = \frac{1}{2} \left(1 - \frac{\tilde{\epsilon}_k}{\sqrt{\tilde{\epsilon}_k^2 + \Delta^2}} \right). \quad (37)$$

Представим Δ в виде

$$\Delta = \Delta_0 + \tilde{\Delta}, \quad \Delta_0 \equiv \langle \Psi_0 | \hat{\Delta} | \Psi_0 \rangle. \quad (38)$$

Так,

$$\Delta^2 \approx \Delta_0^2 + 2\Delta_0\tilde{\Delta}, \quad (39)$$

пренебрегая слагаемыми порядка $(\tilde{\Delta}/\Delta_0)^2$.

Дополнительные слайды (7): схема БКШ

Результирующий гамильтониан H' имеет вид

$$H' \approx \underbrace{\sum_{k>0} 2\tilde{\epsilon}_k v_k^2 - \frac{\Delta_0^2}{G}}_{H'_0} + \sum_{k>0} \underbrace{(\tilde{\epsilon}_k(u_k^2 - v_k^2) + \Delta_0(2u_k v_k))}_{E_k} (\hat{n}_k^b + \hat{n}_{\bar{k}}^b). \quad (40)$$

Энергия квазичастиц b даётся выражением

$$E_k = \tilde{\epsilon}_k(u_k^2 - v_k^2) + \Delta_0(2u_k v_k) \approx \sqrt{\tilde{\epsilon}_k^2 + \Delta_0^2}. \quad (41)$$